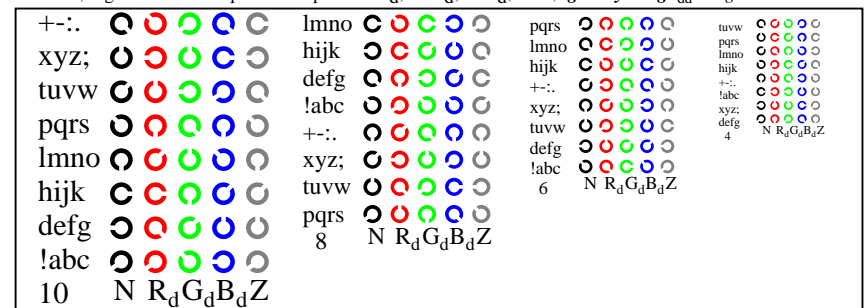
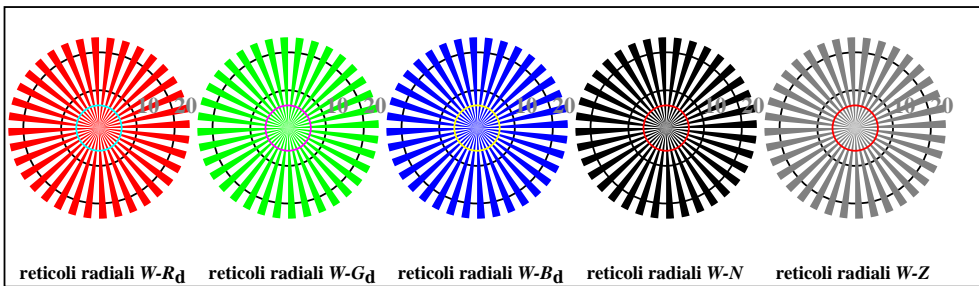


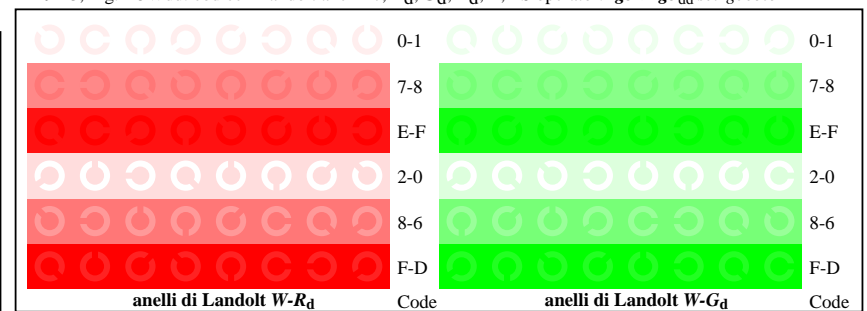
AI191-1, Fig. D4Wdd: 16 equidistante passi  $W-R_d$ ;  $W-G_d$ ;  $W-B_d$ ;  $W-N$ ;  $rgb/cmy0 \rightarrow rgb_{dd}$  setrgbcolor



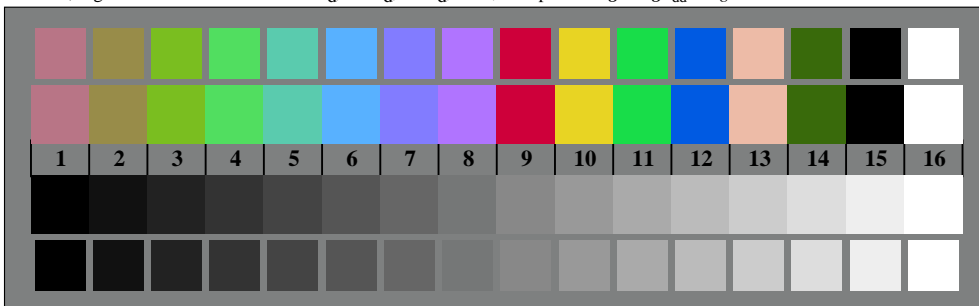
AI191-3, Fig. D5Wdd: codice i Landolt anelli  $N$ ;  $R_d$ ;  $G_d$ ;  $B_d$ ;  $Z$ ;  $PS$  operator:  $rgb \rightarrow rgb_{dd}$  setrgbcolor



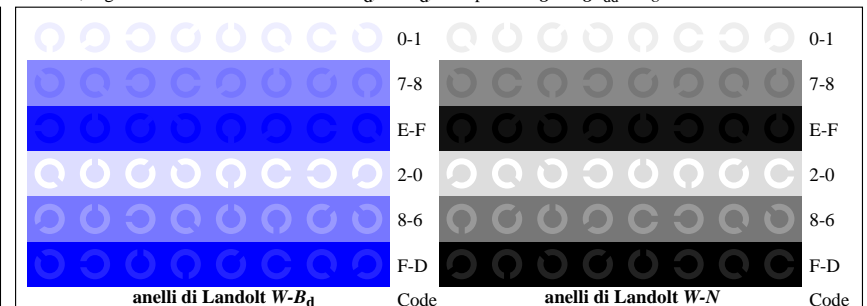
AI190-5, Fig. D2Wdd: reticoli radiali  $W-R_d$ ;  $W-G_d$ ;  $W-B_d$ ;  $W-N$ ;  $PS$  operator:  $rgb \rightarrow rgb_{dd}$  setrgbcolor



AI191-5, Fig. D6Wdd: anelli di Landolt  $W-R_d$ ;  $W-G_d$ ;  $PS$  operator:  $rgb \rightarrow rgb_{dd}$  setrgbcolor



AI190-7, Fig. D3Wdd: 14 prova colori CIE i 2 + 16 grigio passi (sf);  $rgb/cmy0 \rightarrow rgb_{dd}$  setrgbcolor



AI191-7, Fig. D7Wdd: anelli di Landolt  $W-B_d$ ;  $W-N$ ;  $PS$  operator:  $rgb \rightarrow rgb_{dd}$  setrgbcolor